

# Introducción a la solución numérica de ODE's

## Guía computacional 1 - Mecánica Clásica 2016 - Clase G. Mindlin

Ignacio Poggi - L.U: 567/07 - ignaciop.3@gmail.com

3 de abril de 2016

### 1. Enunciado

En la sección de materiales adicionales de la cátedra se encuentra un programa principal y un integrador Runge-Kutta de orden 4 (rk4) en lenguaje C. En el programa principal se encuentra escrita una ecuación diferencial a integrar, los parámetros y las condiciones iniciales. Sobre este código van a trabajar en las siguientes actividades realizando las modificaciones pertinentes para su problema en particular.

En ubuntu es posible compilar y ejecutar el código directamente desde una terminal abierta en una carpeta que contenga tanto el programa principal como el integrador rk4:

```
gcc ODE_ejX.c -o ode_ejX -lm rk4.c
```

```
./ode_ejX
```

Se obtendrá como salida un archivo llamado *ejX.dat*, donde *X* es el número del ejercicio, que contiene el resultado de la integración. Los resultados pueden ser analizados graficamente mediante un graficador, en nuestro caso utilizaremos **gnuplot** que se controla mediante comandos en terminal.

### Actividad 1

Editar el código de ODE.c para analizar los siguientes puntos:

- Cómo varía el resultado según el paso de integración. Programe una integración con el método de Euler y compare.
- Analizar cómo evoluciona el sistema dadas distintas condiciones iniciales.

Qué tipo de conclusiones puede obtener a partir de los análisis anteriormente realizados.

## Actividad 2 - Oscilador armónico amortiguado

El oscilador armónico amortiguado es un problema del cual se conoce la solución analítica cuya ecuación diferencial que rige el movimiento es:

$$\frac{d^2x}{dt^2} + 2\gamma \frac{dx}{dt} + \omega_0^2 x = 0 \quad (1)$$

Estudie numéricamente las soluciones del sistema según la relación de los parámetros, para ello: escriba la ecuación de segundo orden como dos ecuaciones de primer orden, varíe  $\gamma$  y  $\omega$  e integre. También analice distintas condiciones iniciales. Compare con lo conocido de la solución analítica, para ello grafique como evoluciona la posición en el tiempo, la velocidad y cuál es la trayectoria en el espacio de fases  $x\dot{x}$ .

## Actividad 3 - Oscilador de Van der Pol

Es un tipo de oscilador con un amortiguamiento no lineal descrito a principio de siglo por Van der Pol quien estudió circuitos eléctricos con componentes no lineales obteniendo la ecuación:

$$\frac{d^2x}{dt^2} + \mu(x^2 - 1)\frac{dx}{dt} + x = 0 \quad (2)$$

Este sistema presenta soluciones oscilatorias para ciertos valores del parámetro  $\mu$  que son conocidas como oscilaciones de relajación. Esta ecuación tiene una importancia en la ciencia ya que fue usada en distintos campos para describir por ejemplo, el comportamiento de una falla tectónica o el potencial de acción de una neurona. Esto se debe a que el sistema según los valores de  $x$  presenta un amortiguamiento positivo (como el de la actividad 2 donde el sistema pierde energía), y para otros presenta un amortiguamiento "negativo" donde el sistema gana energía. Esto produce que eventualmente la energía perdida en un ciclo sea igual a la ganada generando oscilaciones autosostenidas. Este sistema se verá con más detalle avanzado el curso, en esta práctica se propone realizar un acercamiento de forma numérica para tener cierta comprensión de cómo se comporta el mismo.

- Escriba el sistema como dos ecuaciones de primer orden.
- Inspeccione numéricamente las soluciones posibles del sistema, estudie como varían según la variación del parámetro  $\mu$ . Para ello grafique la trayectoria  $x$  en función del tiempo, la velocidad  $\dot{x}$  en función del tiempo y también el espacio de fases  $x\dot{x}$ .
- Modifique también las condiciones iniciales y estudie numéricamente las respuestas del sistema. Para ello grafique la trayectoria  $x$  en función del tiempo, la velocidad  $\dot{x}$  en función del tiempo y también el espacio de fases  $x\dot{x}$ .

## A entregar

Se deberá entregar un trabajo de la actividad 2 y 3, con los códigos, los gráficos obtenidos para las integraciones numéricas propuestas y el correspondiente análisis para cada caso.

## 2. Análisis de datos y conclusiones

### 2.1. Oscilador armónico amortiguado

El oscilador armónico amortiguado es el caso generalizado de los osciladores armónicos libres ya que su comportamiento contempla la disipación de energía pero no la presencia de fuerzas externas. Su comportamiento está dado por (1). Para obtener las soluciones de dicha ecuación, se propone una con la forma  $x(t) = e^{zt}$ , con  $z \in \mathbb{C}$  (luego  $\dot{x}(t) = ze^{zt}$  y  $\ddot{x}(t) = z^2e^{zt}$ ).

Reemplazando el  $x(t)$  y sus derivadas en (1), se obtiene la siguiente ecuación cuadrática para  $z$ :

$$(z^2 + 2\gamma z + \omega_0^2)e^{zt} = 0$$

Esta ecuación es igual a 0 si y solo si  $(z^2 + 2\gamma z + \omega_0^2) = 0$ . Las raíces de este polinomio son:

$$z_{1,2} = \frac{-2\gamma \pm \sqrt{4\gamma^2 - 4\omega_0^2}}{2} = -\gamma \pm \sqrt{\gamma^2 - \omega_0^2}$$

Podemos distinguir tres casos que, a continuación, analizamos por separado.

- Si  $\omega_0^2 > \gamma^2$ , tenemos dos raíces complejas

$$z_1 = -\gamma + i\sqrt{\omega_0^2 - \gamma^2}$$

$$z_2 = -\gamma - i\sqrt{\omega_0^2 - \gamma^2}$$

Sea  $\omega_1 = \sqrt{\omega_0^2 - \gamma^2}$ . Reemplazando esta nueva frecuencia en la solución propuesta y tomando su parte real, tenemos que

$$x(t) = e^{-\gamma t}(a\cos(\omega_1 t) + b\sin(\omega_1 t)) \quad (3)$$

$$\dot{x}(t) = e^{-\gamma t}((\omega_1 b - \gamma a)\cos(\omega_1 t) + (\omega_1 a - \gamma b)\sin(\omega_1 t))$$

donde  $a$  y  $b$  se determinan con las condiciones iniciales

$$x(0) = a, \dot{x}(0) = \omega_1 b - \gamma a$$

Luego, la ecuación (3) nos queda

$$x(t) = e^{-\gamma t}\left(x(0)\cos(\omega_1 t) + \frac{\dot{x}(0) + \gamma x(0)}{\omega_1}\sin(\omega_1 t)\right) \quad (4)$$

Este movimiento corresponde a una oscilación armónica de frecuencia  $\omega_1$ , diferente de la frecuencia natural  $\omega_0$ ; y se denomina *movimiento oscilatorio subamortiguado*.

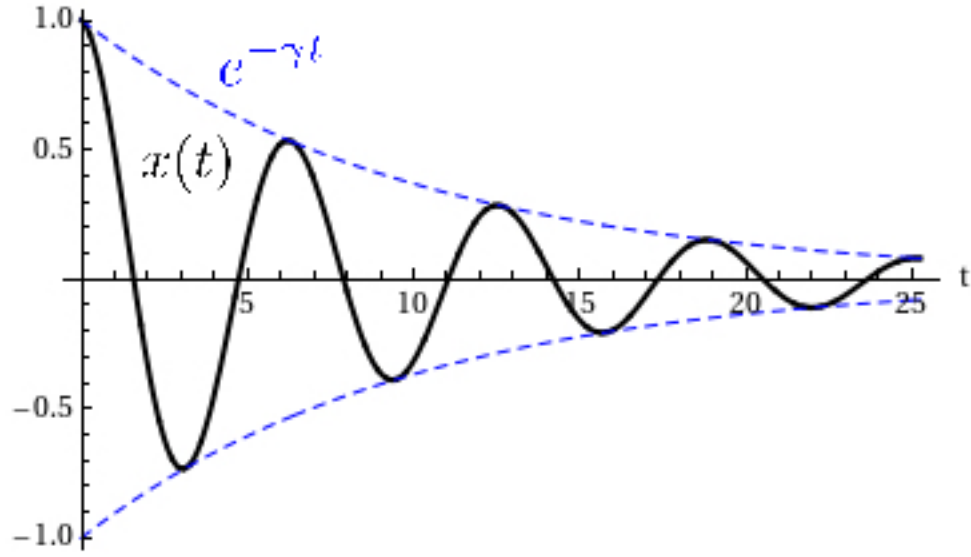


Figura 1: Movimiento oscilatorio subamortiguado.

Se observa como la curva esta modulada por un termino exponencial relacionado con la constante de amortiguamiento  $\gamma$ .

- Si  $\omega_0^2 < \gamma^2$ , tenemos dos raices reales

$$z_1 = -\gamma + \sqrt{\gamma^2 - \omega_0^2}$$

$$z_2 = -\gamma - \sqrt{\gamma^2 - \omega_0^2}$$

En este caso, la ecuación  $x(t)$  nos quedara expresada en termino de cosenos y senos hiperbolicos. Para las condiciones iniciales procedemos como en el caso del oscilador subamortiguado, por lo tanto la ecuación de movimiento nos queda

$$x(t) = x(0)e^{-\gamma t} \cosh(\sqrt{\gamma^2 - \omega_0^2}t) + \frac{\dot{x}(0) + \gamma x(0)}{\sqrt{\gamma^2 - \omega_0^2}} e^{-\gamma t} \sinh(\sqrt{\gamma^2 - \omega_0^2}t) \quad (5)$$

Este movimiento se denomina *oscilatorio sobreamortiguado*.

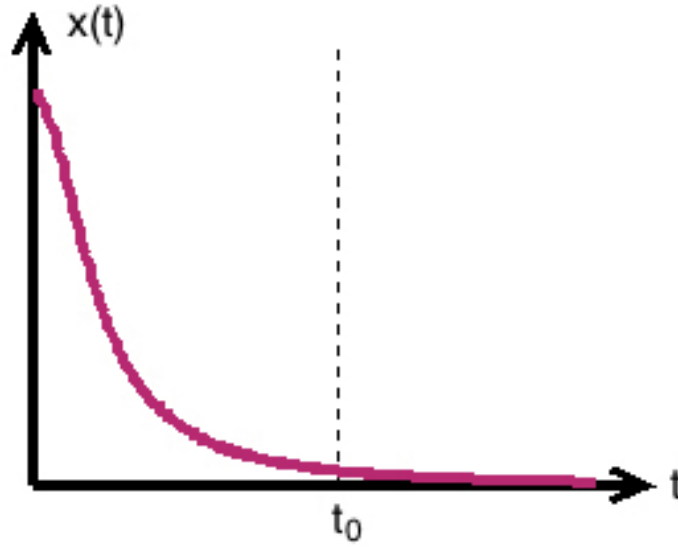


Figura 2: Esquema del movimiento oscilatorio sobreamortiguado. En  $t_0$  el sistema decae a 0 sin llegar a completar un periodo de oscilación.

- Si  $\omega_0^2 = \gamma^2$ , tenemos una raíz real doble

$$z_{1,2} = -\gamma$$

Al tener una única raíz doble, debemos considerar soluciones del siguiente tipo:

$$x(t) = (a + bt)e^{-\gamma t}$$

Al imponer las condiciones iniciales sobre  $x(t)$ , la solución nos queda que

$$x(t) = [x(0) + (\dot{x}(0) + \gamma x(0))t]e^{-\gamma t} \quad (6)$$

Este movimiento se denomina *oscilatorio con amortiguamiento crítico*.

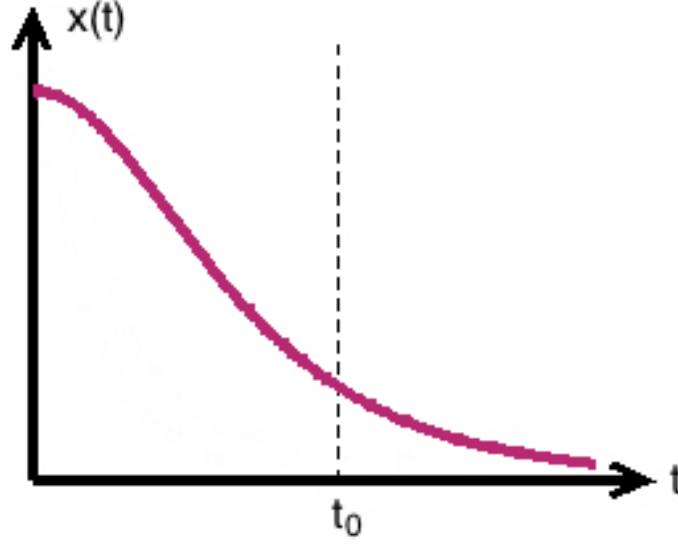


Figura 3: Esquema del movimiento oscilatorio con amortiguamiento crítico

Para el análisis numérico, se reescribió la ecuación de segundo orden (1) como dos ecuaciones de primer orden de la siguiente manera

$$\begin{cases} \dot{x} = y \\ \dot{y} = -2\gamma y - \omega_0^2 x \end{cases}$$

Este sistema se implemento en el código fuente *ODE\_ej2.c* (ver sección Apéndice). Se utilizó una variable  $j$  dentro del bucle *for* para ir iterando los distintos valores de  $\gamma$  y  $\omega_0$ , así como también las condiciones iniciales  $x(0)$  y  $\dot{x}(0)$ ; desde  $j = 1$  hasta  $j = 10$ . El tiempo máximo de muestreo fue de 2 segundos.

Para destacar los casos sobre, sub y amortiguado crítico, es necesario aclarar que se utilizaron incrementos de dicha variable con un valor igual a 4, por lo tanto  $j$  solo toma 3 valores durante la ejecución del programa:  $j = 1$ ,  $j = 5$  y  $j = 9$ ; obteniendo una representación numérica y gráfica de los 3 casos mencionados anteriormente.

En el siguiente cuadro se pueden ver los valores numéricos para los parámetros y condiciones iniciales correspondientes a cada iteración

Los gráficos correspondientes a estos resultados son los siguientes

$j$	$\gamma$	$\omega_0$	$x(0)$	$\dot{x}(0)$
1	9	1	0.5	4.5
5	5	5	2.5	2.5
9	1	9	4.5	0.5

Cuadro 1: Valores de los parámetros  $\gamma$ ,  $\omega_0$  y las condiciones iniciales en cada iteración. La primera fila corresponde al caso sobreamortiguado ( $\gamma^2 > \omega_0^2$ ), la segunda al caso de amortiguamiento crítico ( $\gamma^2 = \omega_0^2$ ) y la tercera al caso subamortiguado ( $\gamma^2 < \omega_0^2$ )

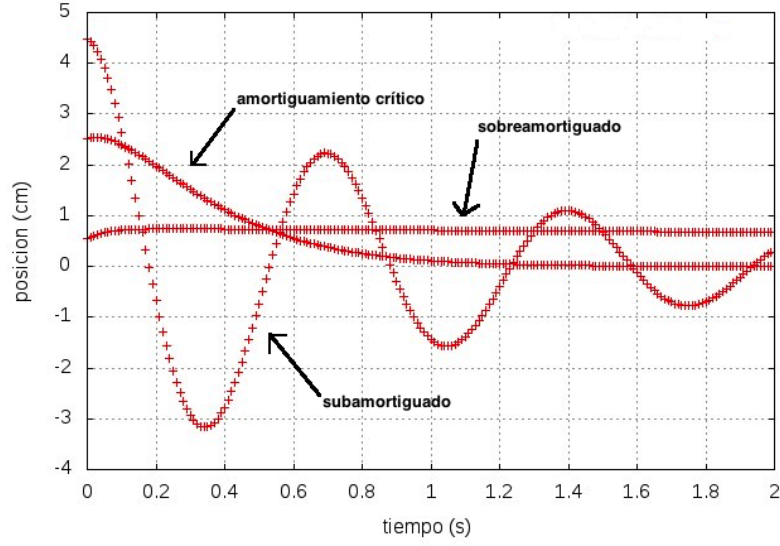


Figura 4: Posición en función del tiempo para los 3 casos estudiados del oscilador armónico amortiguado

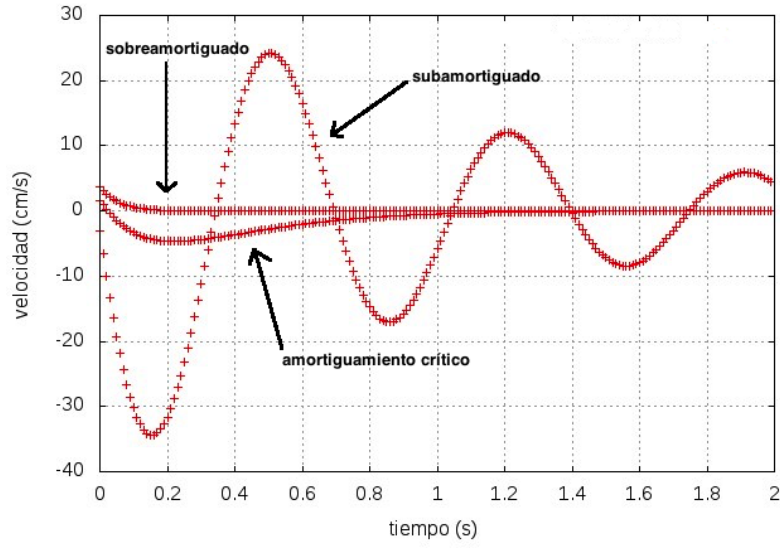


Figura 5: Velocidad en función del tiempo para los 3 casos estudiados del oscilador armónico amortiguado

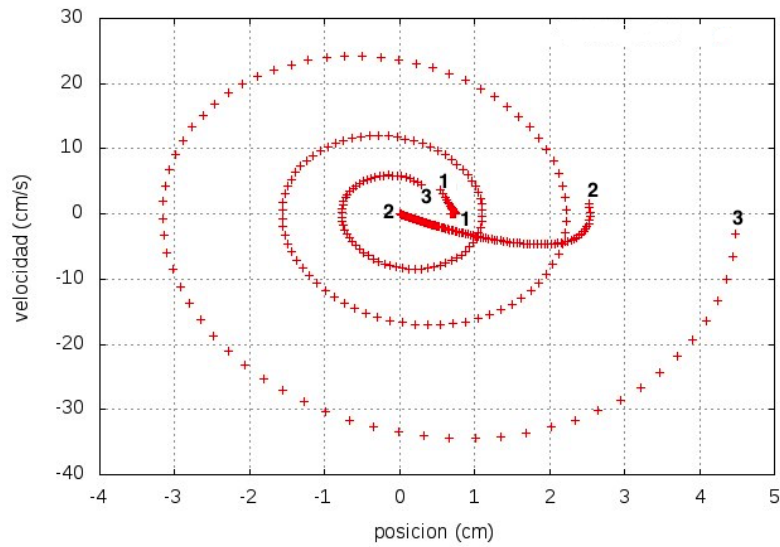


Figura 6: Espacio de fases para los 3 casos estudiados del oscilador armónico amortiguado

Se observa en los gráficos que el integrador de Runge-Kutta de orden 4 provisto por la cátedra, y los valores escogidos para destacar los 3 casos, aproximan satisfactoriamente a las soluciones analíticas del oscilador armónico amortiguado detalladas en la introducción teórica del mismo.



También podemos ver que, en el caso sobreamortiguado, como  $\gamma^2 = 81$  y  $\omega_0^2 = 1$ , el amortiguamiento es excesivo frente a la oscilación natural del sistema, por lo tanto la posición y velocidad decaen muy rápidamente, sin llegar a 0. Esta situación en el espacio de fases esta representada por una linea muy corta, señalada al principio y al final con el numero 2.

Para el caso de amortiguamiento crítico,  $\gamma^2 = \omega_0^2 = 25$ , la función  $x(t)$  presenta un decaimiento exponencial, similar al caso sobreamortiguado. En un oscilador de estas características, el retorno a la posición de equilibrio se da rápidamente. En el espacio de fases se puede ver como la linea gruesa marcada con el numero 1 al principio y al final de la misma.

En el caso subamortiguado,  $\gamma^2 = 1$  y  $\omega_0^2 = 81$ . Esto se ve reflejado en una gráfica cosenoidal con una envolvente exponencial que decae mas lentamente que en los otros dos casos, y se hace 0 en un tiempo mas largo que el tiempo de muestreo de 2 segundos.

Se observa además la gran amplitud y frecuencia inicial de esta función con respecto a los casos sobreamortiguado y amortiguado crítico, debido a los valores de  $\omega_0^2$  y  $\dot{x}(0)$  asignados a este caso. En el espacio de fases se puede ver como la curva marcada al principio y al final con el numero 3.

## 2.2. Oscilador de Van der Pol

## 3. Apéndice

Descargar el archivo *guia1\_poggi.zip* y descomprimirlo en una carpeta a elección del usuario, abrir una terminal dentro de la carpeta  $\sim \backslash mecanica - clasica \backslash practica1$ ; y seguir las instrucciones provistas en la sección Enunciado.

Los archivos que contienen los datos numéricos (*ej2.dat* y *ej3.dat*) no fueron transcritos en este informe dada la extensión de los mismos

### 3.1. Código fuente en C del oscilador armónico amortiguado (ODE\_ej2.c)

```
#include <stdio.h>
#include <math.h>

#define a -1

// Define parametros para usar en el sistema en todo el codigo
struct Par{
    double gamma, omega;
} aa;

// Ecuaciones del sistema
void ecuaciones(int n, double v[], double dv[], double t){
    double x,y;
```

```

x=v[0];
y=v[1];

// En este caso son 2 ecuaciones acopladas
dv[0]= y;
dv[1]= -2*aa.gamma*y-aa.omega*aa.omega*x;

return;
}

// Programa principal
int main() {

    int i,j;
    FILE *ptr;
    double v[2],t,dt,t_pre,t_max;

    // Archivo de salida
    ptr=fopen("ej2.dat","w");

    dt=0.01;
    t_max=2;

    // Condiciones iniciales. Se analizaron 3 casos: sub, sobre y
    // amortiguamiento critico variando gamma y omega con valores
    // opuestos en el rango de 1 a 10, con pasos de 5
    for (j=1;j<=10;j=j+4) {
        v[0] = 0.5*j;
        v[1] = 0.5*(10-j);
        aa.gamma=(10-j);
        aa.omega=j;

        t=0.;

        while(t<t_max) {
            // Integra las ecuaciones utilizando el metodo de Runge
            // Kutta
            rk4(ecuaciones,v,2,t,dt);

            // Imprime la integracion
            fprintf(ptr,"%lg\t%lg\t%lg\n",t,v[0],v[1]);

            t+=dt;
        }
    }
}

```

```

        fprintf(ptr, "\n");
    }

    fclose(ptr);
    return(0);
}

```

### 3.2. Código fuente en C del oscilador de Van der Pol (ODE\_ej3.c)

aasdasdjkasdj

### 3.3. Código fuente en C del método de Runge-Kutta de orden 4 provisto por la cátedra (rk4.c)

```

/* Runge Kutta integrator from numerical recipies plus improvements */
/* void *deri(int n, double h[], double D[], double t); */
/* function argument not tested yet */

```

```

void rk4(void deri(int , double [] , double [] , double ) , \
double h[] , int n, double t , double dt)
{
#define naux 26

int i;
double k1[naux] , k2[naux] , k3[naux] , k4[naux] , h0[naux];
double dt2 , dt6;

dt2=dt/2.;
dt6=dt/6.;

for (i = 0 ; i<n; i++)
    h0[i] = h[i];

deri(n, h0, k1, t);
for (i =0 ; i<n ; i++)
    h0[i]=h[i]+dt2*k1[i];

deri(n, h0, k2, t+dt2);
for (i =0 ; i<n ; i++)
    h0[i]=h[i]+dt2*k2[i];

deri(n, h0, k3, t+dt2);
for (i =0 ; i<n ; i++)

```

```

        h0 [ i ] = h [ i ] + dt * k3 [ i ] ;

    deri ( n , h0 , k4 , t + dt ) ;
    for ( i = 0 ; i < n ; i ++ )
        { h0 [ i ] = h [ i ] + dt * k4 [ i ] ; } ;

    for ( i = 0 ; i < n ; i ++ )
        h [ i ] = h [ i ] + dt * ( 2 . * ( k2 [ i ] + k3 [ i ] ) + k1 [ i ] + k4 [ i ] ) ;

    return ;
}

```

## 4. Bibliografía